

## ЗАРЯЖЕННЫЕ ДИСЛОКАЦИИ В МОНОКРИСТАЛЛАХ АНТИМОНИДА ИНДИЯ

*Н. Я. Горицко, П. П. Кузьменко,  
Н. Н. Новиков, А. И. Запорожец*

Наличие электрического заряда на дислокациях впервые было выявлено на кристаллах щелочно-галоидных соединений [1]. Как показали многочисленные дальнейшие работы, в зависимости от избытка на дислокации порогов того или иного знака и примесей заряд здесь мог быть как отрицательным, так и положительным и соответственно в электрическом поле заряженные дислокации могли перемещаться как к плюсу, так и к минусу.

Перемещение дислокаций в электрическом поле наблюдалось и в металлах. Впервые этот эффект был рассмотрен в работе [2] и приписан действию «электронного ветра». В этом случае действующая на дислокации сила могла стать заметной при плотностях тока  $10^3$ — $10^5$  А/мм<sup>2</sup>, что было неоднократно подтверждено экспериментально.

В то же время в полупроводниках уже при плотности тока около 2 мА/мм<sup>2</sup> наблюдается так называемый электромеханический эффект, проявляющийся в заметном изменении микротвердости поверхностных слоев кристалла [3]. Этот эффект имеет место как на элементарных полупроводниках, так и на многих полупроводниковых соединениях, в том числе и на антимониде индия [3]. Заметим, что величина эффекта не зависит от направления тока. Эффект имеет место и на переменном токе. Направленного увлечения дислокаций током здесь не обнаружено.

В то же время теоретически [4] и в немногочисленных экспериментальных работах [4, 5] показано, что дислокации в полупроводниковых кристаллах могут быть отрицательно заряжены за счет акцепторного характера оборванных валентных связей. Однако в области температур, где обычно изучается подвижность дислокаций (600—900 °C у кремния), дислокационные акцепторные центры оказываются уже ионизованными и заряд на дислокациях, а следовательно, и изменение их подвижности при освещении кристалла или пропускании тока не обнаруживаются [6].

Поэтому, чтобы избежать этой ситуации, нами в качестве объекта исследований был выбран антимонид индия, где подвижность дислокаций легко наблюдается уже при температурах около 100 °C, несмотря на то что это обычный полупроводниковый кристалл с большой долей валентных связей (85 %) [7]. Заметим, что низкие температуры значительно легче стабилизировать с высокой точностью, а также исключить образование их градиента вдоль образца. Последнее является определяющим в подобных экспериментах.

Исследования проводились на образцах InSb с ориентацией поверхности (111), вырезанных алмазным диском из монокристаллического слитка. Следы реза снимались корундовым абразивом с размером зерна 10 мкм. Поверхности образцов последовательно шлифовались алмазными пастами 10/7, 5/3, 1/0 и доводились до зеркального блеска в химическом полирующем растворе состава  $\text{HNO}_3 : \text{HF} : \text{CH}_3\text{COOH} = 5 : 3 : 3$ . Размеры образцов составляли  $\sim 20.0 \times 3.4 \times 0.3$  мм соответственно по направлениям  $\langle 110 \rangle$ ,  $\langle 112 \rangle$ ,  $\langle 111 \rangle$ . Ток пропускался вдоль образца (по  $[110]$  и  $[\bar{1}\bar{1}0]$ ).

Поскольку при действии сосредоточенной нагрузки в кристалле происходят те же элементарные процессы зарождения, движения и размножения дислокаций, что и при макроскопической деформации, и в настоящей работе был исполь-

зован метод микроиндейтирования кристаллов и последующего изучения длины лучей звезд фигур травления.

Образец помещался на поверхности асбестоцементной пластины, находившейся в металлической кювете, служившей термостатом. Кювета заполнялась силиконовым маслом, имеющим достаточно высокую теплопроводность, и нагревалась электрической печью до температуры 140 °C. Температура образца измерялась хромель-алюмелевой термопарой с точностью  $\pm 1$  °C. Постоянный электрический ток подводился от стабилизированного источника питания ЛИПС-35 к образцу через посеребренные контакты. Кювета с образцом размещалась на предметном столике микротвердомера ПМТ-З. Стпечатки микротвердости наносили при нагрузке на индентор 5 Г. После остывания образец подвергался химическому травлению раствором состава  $\text{HNO}_3 : \text{HF} : \text{CH}_3\text{COOH} = 2 : 1 : 3$ .

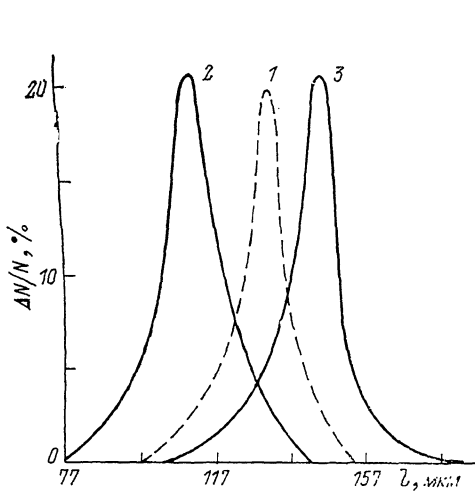


Рис. 1. Гистограммы распределения длин лучей звезд фигур травления на образце без тока (1) и при пропускании через него тока (2, 3).  
2 — лучи направлены в сторону отрицательного потенциала на образце, 3 — лучи направлены в сторону положительного потенциала на образце.

2 — лучи направлены в сторону отрицательного потенциала на образце, 3 — лучи направлены в сторону положительного потенциала на образце.

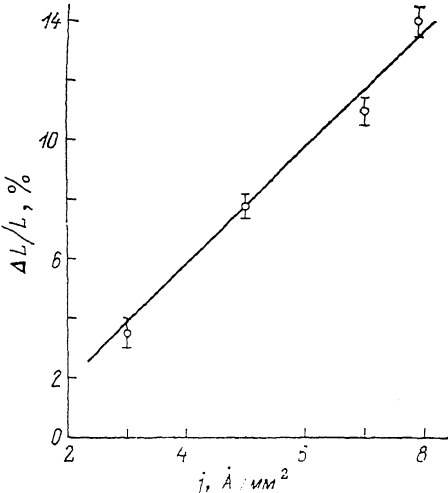


Рис. 2. Зависимость отношения превышения длины лучей, направленных в сторону положительного потенциала, над лучами, направленными в противоположную сторону, к длине последних от плотности тока.

Влияние электрического тока на изменение длины лучей дислокационных розеток, возникающих вокруг отпечатков индентора, исследовалось при плотностях тока 3, 5, 7, 8,  $\text{A/mm}^2$ . Наблюдался определенный разброс в длинах лучей дислокационных розеток. С целью уменьшения указанной погрешности при каждом значении и направлении тока наносилось и измерялось  $\sim 100$  отпечатков. В результате среднюю квадратичную погрешность измерения длины лучей удалось уменьшить до 2 %.

Изменение длин лучей дислокационных розеток по причине колебаний температуры на 1—2° не превышало средней квадратичной погрешности измерений. Измерение температуры поверхности образца показало, что градиент температуры на образце практически отсутствует и не может превышать погрешности ее измерения.

Примеры полученных гистограмм распределения длин лучей звезд фигур травления приведены на рис. 1. Здесь центральная штриховая кривая соответствует случаю отсутствия тока через образец. Слева и справа от нее нанесены

кривые длин лучей, направленных в сторону отрицательного и положительного потенциала на образце. Хорошо видно, что наиболее вероятная длина лучей, направленных к плюсу источника тока, больше. Была изучена зависимость возрастания этой длины с ростом плотности тока через образец. На рис. 2 представлены полученные данные. По оси ординат здесь нанесено отношение превышения длины лучей, направленных в сторону положительного потенциала, над лучами, направленными в противоположную сторону, к длине последних. Во-первых, видно, что подвижность дислокаций, перемещающихся «к плюсу», выше. Во-вторых, она, вероятно, линейно растет с ростом плотности тока, хотя при плотностях тока меньше  $1 \text{ A/mm}^2$  токовый эффект, по-видимому, отсутствует. Последнее может быть связано с наличием порогового значения силы трения, преодолеть которое за счет токовой добавки движущей силы дислокациям становится уже невозможным.

На основании выполненных экспериментов трудно говорить что-либо о механизме наблюдаемого явления токовой интенсификации подвижности дислокаций. Ясно лишь, что оно не связано с электромеханическим эффектом и ввиду малых плотностей тока — с электронным увлечением дислокаций. Вероятнее всего, что здесь имеет место проявление отрицательного заряда дислокаций в кристаллах антимонида индия в конкретных температурно-примесных условиях.

#### Список литературы

- [1] Dekeyser W. // Phil. Mag. 1961. V. 6. N 68. P. 997—1001.
- [2] Кравченко В. Я. // ЖЭТФ. 1966. Т. 51. № 6 (12). С. 1676—1688.
- [3] Westbrook J. H., Gilman J. J. // J. Appl. Phys. 1962. V. 33. N 7. P. 2360—2369.
- [4] Matare H. F. // Zs. Naturforschung. 1955. V. 10a. N 8. P. 640.
- [5] Дранченко А. С., Новиков Н. Н. // ДЕН. Р4148. ЦНИИ «Электроника». 10 с.
- [6] Schaumburg H., Schröter W. // Phys. Lett. 1969. V. A—30. N 1. P. 21—22.
- [7] Харрисон У. Электронная структура и свойства твердых тел. Т. 1. Физика химической связи. М.: Мир, 1983. С. 157.

Киевский государственный университет  
им. Т. Г. Шевченко

Поступило в Редакцию  
22 июля 1991 г.

УДК 537.635

© Физика твердого тела, том 34, № 2, 1992  
Solid State Physics, vol. 34, N 2, 1992

#### ЭПР ДЫРОЧНОГО ЦЕНТРА В $\text{CaF}_2 : \text{Na}$

Ц. А. Гавашели, Р. И. Мирианашвили,  
О. В. Ромелашвили, Т. И. Санадзе

Самолокализованный дырочный центр ( $V_K$ -центр) представляет собой молекулярный ион  $\text{F}_2^-$ , образованный под действием рентгеновского или  $\gamma$ -облучения при низких температурах.  $V_K$ -центры в  $\text{CaF}_2$  с температурой распада 138 К и осью симметрии  $\langle 100 \rangle$  описаны в работе [1]. Сиерро [2] описал разновидность  $V_K$ -центра с той же осью симметрии, но с температурой распада 300 К и приписал его молекуле  $\text{F}_2$ , расположенной около вакансии иона  $\text{Ca}^{2+}$ . Позднее авторами работы [3] этот тип  $V_K$ -центра приписан молекуле  $\text{F}_2$ , образованной около иона  $\text{Na}^+$ , который был введен в виде примеси в монокристаллы  $\text{CaF}_2$ . Авторами работ [3, 4] наблюдалось еще несколько типов дырочных центров, которые отличаются ориентацией молекулы  $\text{F}_2$ , температурой распада и пара-